

1. Generazione di un'immagine (Image Formation)

Camera Calibration (calibrazione geometrica della camera)

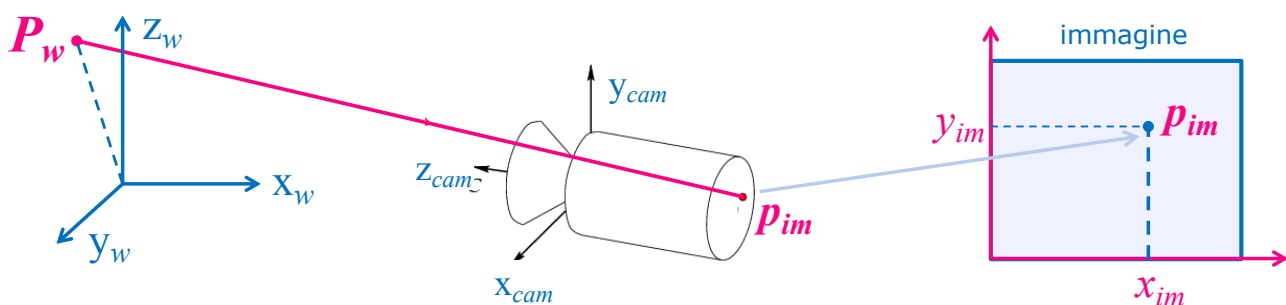
(Forsyth/Ponce: Capitolo 1)

Calibrazione di camera (camera calibration) – definizione



Camera Calibration:

processo attraverso il quale si determina il modello geometrico di una camera



$$\text{Camera model } \mathbf{M}(\xi) : \tilde{p}_{im} = \mathbf{M} \cdot \tilde{P}_w$$

Calibrazione: determinazione di \mathbf{M} (o dei parametri ξ ;) →

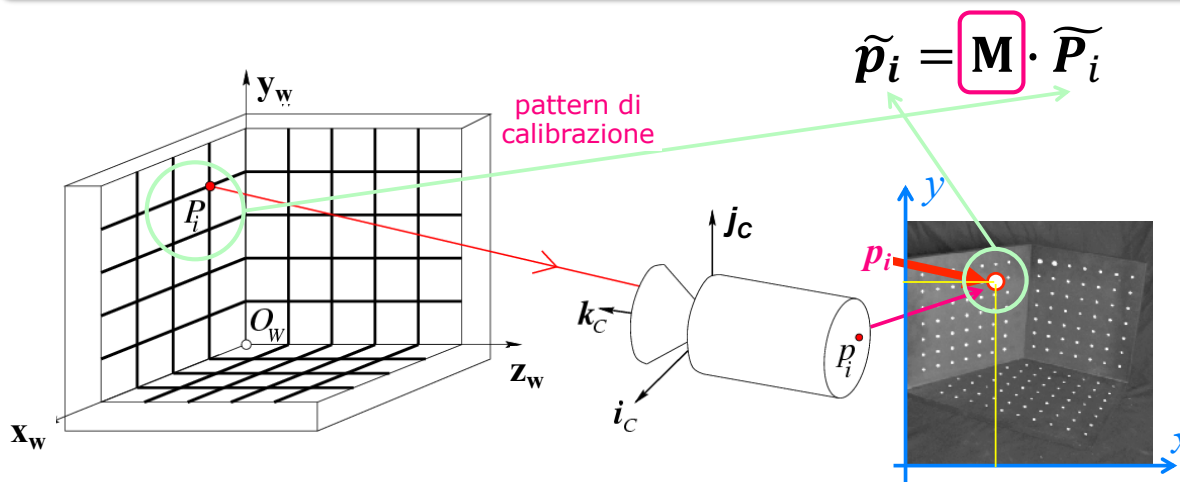
Parametri di camera ξ :

$$\xi = [\mathbf{R}, \mathbf{T}, f, \mathbf{C}] = \left[\begin{array}{c} \varphi, \vartheta, \rho, t_x, t_y, t_z \\ \text{estrinseci} \end{array} \right], \left[\begin{array}{c} f, x_c, y_c \\ \text{intrinseci} \end{array} \right]$$

Setup di calibrazione:

- ❖ La camera osserva una scena con un **pattern di calibrazione** contenente numerosi **punti fiduciali**
 - **punti fiduciali (fiducial markers):** oggetti localizzabili facilmente e con notevole precisione
- ❖ Le **world coordinates** dei punti fiduciali sono note a priori, rispetto a una terna solidale con il pattern di calibrazione → P_i note a priori
- ❖ I punti fiduciali vengono localizzati nell'immagine → p_i determinate analizzando l'immagine

CALIBRAZIONE: sfrutto l'associazione $P_i \leftrightarrow p_i$ per determinare M



Calibrazione di camera – pattern di calibrazione

Pattern di calibrazione

Set di punti fiduciali: semplici da localizzare, con notevole precisione

PATTERN

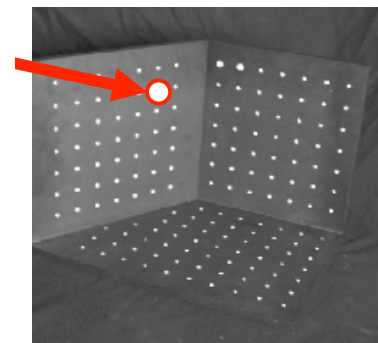
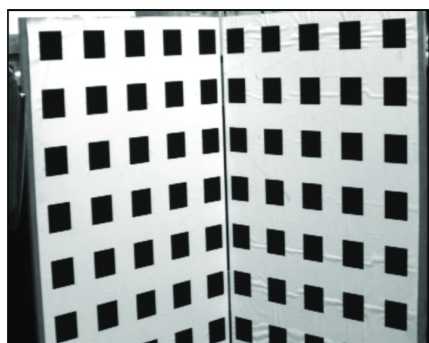
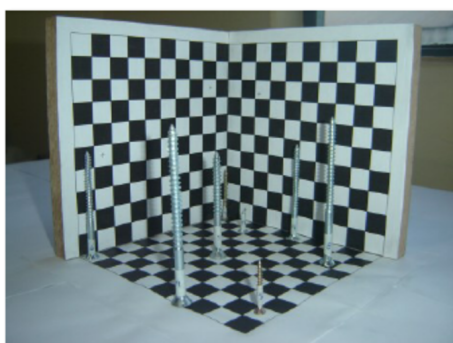
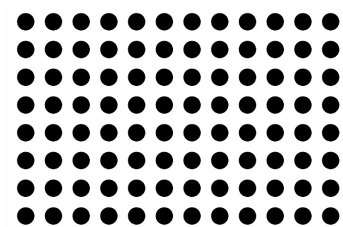
- sferette
- cerchi piani
- "chessboard"

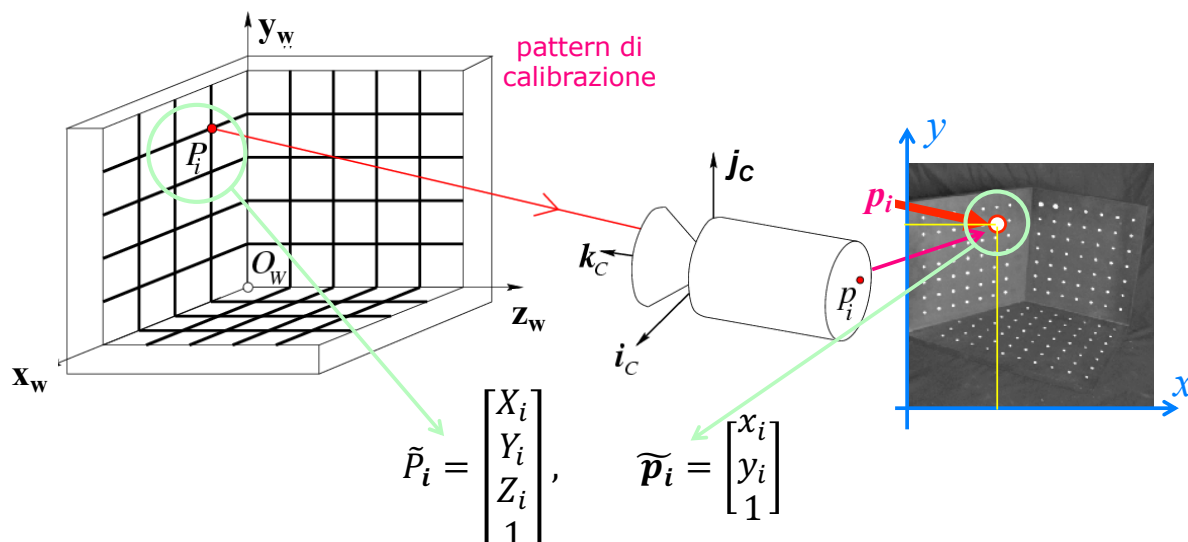
Da localizzare:

- centro della sfera
- centro del cerchio
- punti fiduciali: vertici dei quadrati

- ❖ Il set di punti fiduciali deve 'riempire' uno spazio **3D** non degenerare

- **Punti su un piano non bastano!**
- **Se uso pattern planari, mi servono almeno 2 immagini, su piani differenti**





Definizione del problema:

- ❖ dato un set di N punti fiduciali P_i (*fiducial points*), di cui è nota la posizione 3D in un sistema di riferimento solidale con la scena...
- ❖ ...e date le *coordinate-immagine* p_i di tali N punti, visti dalla camera,
- ➔ determinare il *modello di camera* M (funzione di ξ) che soddisfa:

$$\tilde{p}_i = M \cdot \tilde{P}_i, \quad i = 1..N$$

Calibrazione di camera – approccio lineare



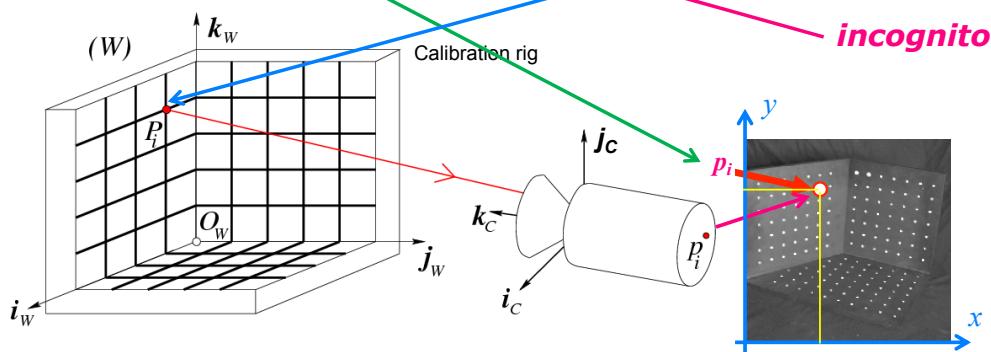
Calibrazione – approccio lineare

Determino la matrice M [3 x 4] del modello lineare $\tilde{p}_i = M \cdot \tilde{P}_i$ conoscendo:

- ❖ le coordinate-mondo di N punti fiduciali: $P_i, i = 1..N$
- ❖ le loro coordinate-immagine: $p_i, i = 1..N$

Per ogni $i=1..N$:

N equazioni: $\tilde{p}_i = \begin{bmatrix} x_i \\ y_i \\ 1 \end{bmatrix} = M \cdot \tilde{P}_i = \begin{bmatrix} m_1 \\ m_2 \\ m_3 \end{bmatrix} \cdot \begin{bmatrix} X_i \\ Y_i \\ Z_i \\ 1 \end{bmatrix}, \quad i = 1 \dots N$





Per ogni punto fiduciale P_i ($i = 1..N$), localizzato nell'immagine in p_i :

$$\tilde{\mathbf{p}}_i = \begin{bmatrix} \tilde{x}_i \\ \tilde{y}_i \\ \tilde{z}_i \end{bmatrix} = \mathbf{M} \cdot \tilde{\mathbf{P}}_i = \begin{bmatrix} \mathbf{m}_1 \\ \mathbf{m}_2 \\ \mathbf{m}_3 \end{bmatrix} \cdot \tilde{\mathbf{P}}_i = \begin{bmatrix} \mathbf{m}_1 \cdot \tilde{\mathbf{P}}_i \\ \mathbf{m}_2 \cdot \tilde{\mathbf{P}}_i \\ \mathbf{m}_3 \cdot \tilde{\mathbf{P}}_i \end{bmatrix}$$

In coordinate euclidee: $\mathbf{p}_i = \begin{bmatrix} x_i \\ y_i \end{bmatrix} = \begin{bmatrix} \tilde{x}_i / \tilde{z}_i \\ \tilde{y}_i / \tilde{z}_i \end{bmatrix}$

dove:

$$\mathbf{M} = \begin{bmatrix} f & 0 & x_c & 0 \\ 0 & f & y_c & 0 \\ 0 & 0 & 1 & 0 \end{bmatrix} \cdot \begin{bmatrix} \mathbf{R} & \mathbf{T} \\ \mathbf{0} & 1 \end{bmatrix} = \begin{bmatrix} f\mathbf{r}_1 + x_c\mathbf{r}_3 & ft_x + x_ct_z \\ f\mathbf{r}_2 + y_c\mathbf{r}_3 & ft_y + y_ct_z \\ \mathbf{r}_3 & t_z \end{bmatrix} = \begin{bmatrix} fr_{11} + x_cr_{31} & fr_{12} + x_cr_{32} & fr_{13} + x_cr_{33} & ft_x + x_ct_z \\ fr_{21} + y_cr_{31} & fr_{22} + y_cr_{32} & fr_{23} + y_cr_{33} & ft_y + y_ct_z \\ r_{31} & r_{32} & r_{33} & t_z \end{bmatrix}$$

Quindi, considerando p_i (in coordinate euclidee):

$$p_i = \begin{bmatrix} x_i \\ y_i \end{bmatrix} = \begin{bmatrix} \tilde{x}_i / \tilde{z}_i \\ \tilde{y}_i / \tilde{z}_i \end{bmatrix} = \begin{bmatrix} \mathbf{m}_1 \tilde{\mathbf{P}}_i / \mathbf{m}_3 \tilde{\mathbf{P}}_i \\ \mathbf{m}_2 \tilde{\mathbf{P}}_i / \mathbf{m}_3 \tilde{\mathbf{P}}_i \end{bmatrix} \Rightarrow \begin{cases} \mathbf{m}_1 \tilde{\mathbf{P}}_i - x_i \mathbf{m}_3 \tilde{\mathbf{P}}_i = 0 \\ \mathbf{m}_2 \tilde{\mathbf{P}}_i - y_i \mathbf{m}_3 \tilde{\mathbf{P}}_i = 0 \end{cases}, \quad i = 1..N$$

2N equazioni, 12 (11) incognite

→ $\mathbf{P} \cdot \mathbf{m} = \mathbf{0}$

Sistema lineare omogeneo, in **11** incognite (12, a meno di un fattore di scala) e **2N** equazioni
 → risolvibile per **$N \geq 6$** (almeno **6** punti fiduciali)



Per ogni punto fiduciale P_i ($i = 1..N$), localizzato nell'immagine in p_i :

$$p_i = \begin{bmatrix} x_i \\ y_i \end{bmatrix} = \begin{bmatrix} \tilde{x}_i / \tilde{z}_i \\ \tilde{y}_i / \tilde{z}_i \end{bmatrix} = \begin{bmatrix} \mathbf{m}_1 \tilde{\mathbf{P}}_i / \mathbf{m}_3 \tilde{\mathbf{P}}_i \\ \mathbf{m}_2 \tilde{\mathbf{P}}_i / \mathbf{m}_3 \tilde{\mathbf{P}}_i \end{bmatrix} \Rightarrow \begin{cases} \mathbf{m}_1 \tilde{\mathbf{P}}_i - x_i \mathbf{m}_3 \tilde{\mathbf{P}}_i = 0 \\ \mathbf{m}_2 \tilde{\mathbf{P}}_i - y_i \mathbf{m}_3 \tilde{\mathbf{P}}_i = 0 \end{cases}, \quad i = 1..N$$

2N equazioni, 12 incognite m_{ij}

Posso scriverle le **2N** equazioni in forma di sistema lineare nelle **12** incognite m_{ij} (gli elementi di \mathbf{M}):

$$\begin{bmatrix} P_{1x} & P_{1y} & P_{1z} & 1 & 0 & 0 & 0 & 0 & -x_1 P_{1x} & -x_1 P_{1y} & -x_1 P_{1z} & -x_1 \\ 0 & 0 & 0 & 0 & P_{1x} & P_{1y} & P_{1z} & 1 & -y_1 P_{1x} & -y_1 P_{1y} & -y_1 P_{1z} & -y_1 \\ \dots & \dots & \dots & \dots & \dots & \dots & \dots & \dots & \dots & \dots & \dots & \dots \\ P_{Nx} & P_{Ny} & P_{Nz} & 1 & 0 & 0 & 0 & 0 & -x_N P_{Nx} & -x_N P_{Ny} & -x_N P_{Nz} & -x_N \\ 0 & 0 & 0 & 0 & P_{Nx} & P_{Ny} & P_{Nz} & 1 & -y_N P_{Nx} & -y_N P_{Ny} & -y_N P_{Nz} & -y_N \end{bmatrix} \cdot \begin{bmatrix} m_{11} \\ m_{12} \\ m_{13} \\ m_{14} \\ m_{21} \\ m_{22} \\ m_{23} \\ m_{24} \\ m_{31} \\ m_{32} \\ m_{33} \\ m_{34} \end{bmatrix} = \begin{bmatrix} 0 \\ 0 \\ 0 \\ 0 \\ 0 \\ 0 \\ 0 \\ 0 \\ 0 \\ 0 \\ 0 \\ 0 \end{bmatrix}$$

$$\mathbf{P}_{[2N \times 12]} \cdot \mathbf{m}_{[12 \times 1]} = \mathbf{0}_{[12 \times 1]}$$



Sistema lineare omogeneo:

$$\mathbf{P} \cdot \mathbf{m} = \mathbf{0}$$

dove: $\mathbf{P}_{[2N \times 12]} = \begin{bmatrix} \mathbf{P}_1^T & \mathbf{0}^T & -x_1 \mathbf{P}_1^T \\ \mathbf{0}^T & \mathbf{P}_1^T & -y_1 \mathbf{P}_1^T \\ \dots & \dots & \dots \\ \mathbf{P}_N^T & \mathbf{0}^T & -x_N \mathbf{P}_N^T \\ \mathbf{0}^T & \mathbf{P}_N^T & -y_N \mathbf{P}_N^T \end{bmatrix}; \quad \mathbf{m}_{[12 \times 1]} = \begin{bmatrix} m_1 \\ m_2 \\ m_3 \end{bmatrix}$

Per $N > 6$ (più di 6 punti fiduciali): **sistema lineare sovradeterminato**

- ❖ ci interessa però la soluzione **non triviale** (soluzione triviale: $\mathbf{m} = \mathbf{0}$)
- ➔ da risolvere ai **minimi quadrati**:

Soluzione: $\hat{\mathbf{m}} \quad t.c. \quad \|\hat{\mathbf{m}}\| = 1 \quad \rightarrow \quad \hat{\mathbf{m}} = \underset{\mathbf{m}}{\operatorname{argmin}} \|\mathbf{P} \cdot \mathbf{m}\|^2$

- ❖ Soluzione in forma chiusa attraverso il calcolo degli **autovettori di $\mathbf{P}^T \mathbf{P}$** o, equivalentemente, la **decomposizione ai valori singolari (SVD) di \mathbf{P}** :

➔ **m**: **autovettore** relativo all'**autovalore più piccolo** (non nullo) di **$\mathbf{P}^T \mathbf{P}$**

MATLAB scripts: $[\mathbf{W}, \mathbf{d}] = \operatorname{eig}(\mathbf{P}' * \mathbf{P});$ $[\mathbf{U}, \mathbf{S}, \mathbf{V}] = \operatorname{svd}(\mathbf{P});$
 $\mathbf{m} = \mathbf{W}(:, 1);$ $\mathbf{m} = \mathbf{V}(:, \operatorname{end});$

Singular Value Decomposition (SVD)



Autovettori/autovalori

Data la **matrice quadrata \mathbf{A}** [$n \times n$]:

\mathbf{x}, λ sono un autovettore/autovalore di **\mathbf{A}** se: $\mathbf{A} \cdot \mathbf{x} = \lambda \mathbf{x}$

Nel nostro caso: $\mathbf{P} \cdot \mathbf{m} = \mathbf{0} \quad \rightarrow \quad \mathbf{P}^T \mathbf{P} \cdot \mathbf{m} = \mathbf{P}^T \mathbf{0} = \mathbf{0}$

Siccome: $\det(\mathbf{P}^T \mathbf{P}) \neq 0$, l'autovalore/autovalore più piccolo (ma $\neq 0$) corrisponde alla soluzione non triviale ($\mathbf{m} \neq \mathbf{0}$)

che più si avvicina a $\mathbf{P} \cdot \mathbf{m} = \mathbf{0}$

MATLAB: $[\mathbf{W}, \mathbf{d}] = \operatorname{eig}(\mathbf{P}' * \mathbf{P});$
 $\mathbf{m} = \mathbf{W}(:, 1);$

MATLAB: **eig()**: autovalori/autovettori in ordine crescente



Singular Value Decomposition (SVD):

Data la matrice rettangolare \mathbf{M} [$P \times n$]:

$$\mathbf{M} = \mathbf{U} \cdot \mathbf{\Sigma} \cdot \mathbf{V}$$

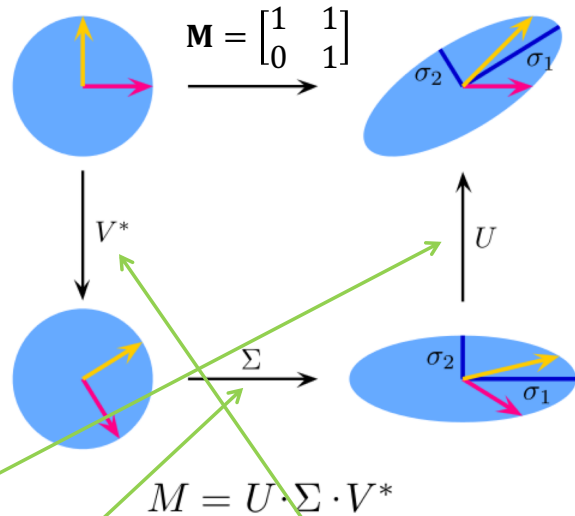
- ❖ \mathbf{U} : matrice ortogonale [$P \times n$]
- ❖ $\mathbf{\Sigma}$: matrice diagonale, [$n \times n$]
- ❖ \mathbf{V} : matrice ortogonale, [$n \times q$]

Esempio in 2D ($M_{[2 \times 2]}$):

$$\mathbf{y} = \mathbf{M} \mathbf{x} \quad \text{dove: } \mathbf{M} = \begin{bmatrix} 1 & 1 \\ 0 & 1 \end{bmatrix}$$

$$[\mathbf{U}, \mathbf{\Sigma}, \mathbf{V}] = \text{svd}(\mathbf{M})$$

$$\Rightarrow \mathbf{U} = \begin{bmatrix} \cos 32^\circ & \sin 32^\circ \\ \sin 32^\circ & -\cos 32^\circ \end{bmatrix}, \quad \mathbf{\Sigma} = \begin{bmatrix} 1.618 & 0 \\ 0 & 0.618 \end{bmatrix}, \quad \mathbf{V} = \begin{bmatrix} \cos 58^\circ & \sin 58^\circ \\ \sin 58^\circ & -\cos 58^\circ \end{bmatrix}$$



Singular Value Decomposition (SVD)



Singular Value Decomposition (SVD):

Data la matrice \mathbf{P} [$P \times n$]:

- ❖ $\mathbf{P} = \mathbf{U} \cdot \mathbf{\Sigma} \cdot \mathbf{V}$
- \mathbf{U} : matrice ortogonale [$P \times q$]
- \mathbf{S} : matrice diagonale, [$q \times q$]
- \mathbf{V} : matrice ortogonale, [$q \times n$]

Nel nostro caso:

$$\mathbf{P} \cdot \mathbf{m} = \mathbf{0}$$

sistema lineare omogeneo con

$$q = \text{rank}(\mathbf{P}) < n$$

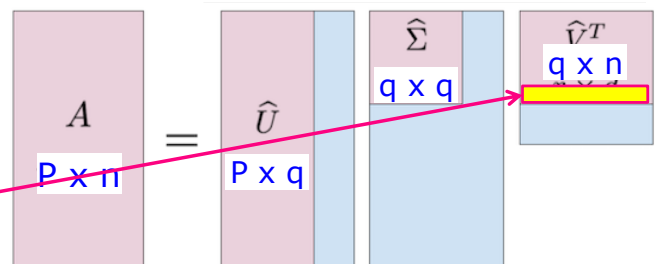
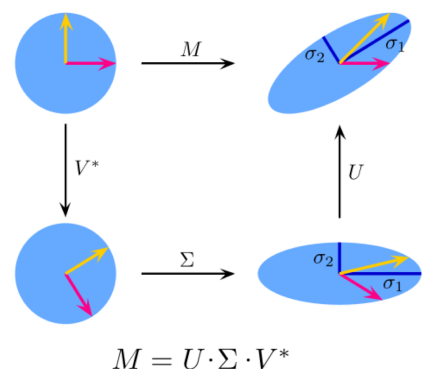
\mathbf{m} noto a meno di un fattore di scala

$$\rightarrow q = 11$$

→ soluzione:

autovettore di \mathbf{V} più piccolo:
ultima colonna di \mathbf{V}

a meno di un fattore di scala



MATLAB: `[U,S,V] = svd(P);`
`m = V(:,end);`



Ottenuti i valori di \mathbf{m} che corrispondono ai 12 coefficienti di \mathbf{M} (a meno di un fattore di scala ρ), si tratta di determinare i parametri di calibrazione:

$$\xi = [\mathbf{R}; \mathbf{T}; f; x_c; y_c]$$

Estrazione dei parametri della camera ξ dalla matrice di proiezione \mathbf{M}

- Abbiamo determinato \mathbf{M} a meno del fattore di scala (ignoto) ρ :

$$\mathbf{M} = \rho \mathbf{M}_{est} = \begin{bmatrix} f\mathbf{r}_1 + x_c\mathbf{r}_3 & ft_x + x_ct_z \\ f\mathbf{r}_2 + y_c\mathbf{r}_3 & ft_y + y_ct_z \\ \mathbf{r}_3 & t_z \end{bmatrix} = \rho \left[\mathbf{A} \parallel \mathbf{b} \right] \mapsto \rho\mathbf{A} = \rho \begin{bmatrix} \mathbf{a}_1 \\ \mathbf{a}_2 \\ \mathbf{a}_3 \end{bmatrix} = \begin{bmatrix} f\mathbf{r}_1 + x_c\mathbf{r}_3 \\ f\mathbf{r}_2 + y_c\mathbf{r}_3 \\ \mathbf{r}_3 \end{bmatrix}$$

- Sapendo che \mathbf{R} è ortonormale ($|\mathbf{r}_i|=1, i=1..3$), dalla terza riga si ottiene:

$$\|\rho \mathbf{a}_3\| = \|\mathbf{r}_3\| = 1 \rightarrow \rho = \frac{\pm 1}{\|\mathbf{a}_3\|} \rightarrow \mathbf{r}_3 = \rho \mathbf{a}_3$$

1. Estrazione dei parametri intrinseci

- dalle prime due righe si ottiene:
$$\begin{cases} \rho \mathbf{a}_1 = f\mathbf{r}_1 + x_c\mathbf{r}_3 \\ \rho \mathbf{a}_2 = f\mathbf{r}_2 + y_c\mathbf{r}_3 \end{cases}$$



...estrazione dei parametri intrinseci (f, x_c, y_c)

- eseguendo il prodotto scalare tra le righe di \mathbf{A} , grazie alla ortonormalità di \mathbf{R} , si ottiene:

$$\mathbf{r}_i \cdot \mathbf{r}_j = \begin{cases} 1 & i = j \\ 0 & i \neq j \end{cases} \Rightarrow \begin{cases} \rho \mathbf{a}_1 \cdot \mathbf{r}_3 = f(\mathbf{r}_1 \cdot \mathbf{r}_3) + x_c(\mathbf{r}_3 \cdot \mathbf{r}_3) = x_c \\ \rho \mathbf{a}_2 \cdot \mathbf{r}_3 = f(\mathbf{r}_2 \cdot \mathbf{r}_3) + y_c(\mathbf{r}_3 \cdot \mathbf{r}_3) = y_c \end{cases}$$

- calcolando il modulo del prodotto vettoriale tra le righe di \mathbf{A} , si ottiene:

$$\mathbf{r}_i \times \mathbf{r}_j = \begin{cases} 0 & i = j \\ \pm \mathbf{k} & i \neq j \end{cases} \Rightarrow \begin{cases} \rho^2 \|\mathbf{a}_1 \times \mathbf{a}_3\| = \|f(\mathbf{r}_1 \times \mathbf{r}_3) + x_c(\mathbf{r}_3 \times \mathbf{r}_3)\| = f \\ \rho^2 \|\mathbf{a}_2 \times \mathbf{a}_3\| = \|f(\mathbf{r}_2 \times \mathbf{r}_3) + y_c(\mathbf{r}_3 \times \mathbf{r}_3)\| = f \end{cases}$$

\swarrow
 versore
 ortogonale a i, j

prodotto scalare (3D)

$$\mathbf{a} \cdot \mathbf{b} = a_1b_1 + a_2b_2 + a_3b_3$$

prodotto vettoriale (3D)

$$\mathbf{a} \times \mathbf{b} = \det \begin{bmatrix} \mathbf{i} & \mathbf{j} & \mathbf{k} \\ a_1 & a_2 & a_3 \\ b_1 & b_2 & b_3 \end{bmatrix} = \begin{bmatrix} a_2b_3 - b_2a_3 \\ -a_1b_3 + b_1a_3 \\ a_1b_2 - b_1a_2 \end{bmatrix}$$



2. Estrazione dei parametri estrinseci

- ❖ eseguendo il prodotto vettoriale tra le righe di \mathbf{A} si ottiene:

$$\begin{cases} \rho^2 (\mathbf{a}_2 \times \mathbf{a}_3) = f (\mathbf{r}_2 \times \mathbf{r}_3) + x_c (\mathbf{r}_3 \times \mathbf{r}_3) = f \mathbf{r}_1 \rightarrow \mathbf{r}_1 = \frac{\rho^2}{f} (\mathbf{a}_2 \times \mathbf{a}_3) = \frac{\mathbf{a}_2 \times \mathbf{a}_3}{\|\mathbf{a}_2 \times \mathbf{a}_3\|} \\ \rho^2 (\mathbf{a}_1 \times \mathbf{a}_3) = f (\mathbf{r}_1 \times \mathbf{r}_3) + y_c (\mathbf{r}_3 \times \mathbf{r}_3) = -f \mathbf{r}_2 \rightarrow \mathbf{r}_2 = -\frac{\mathbf{a}_1 \times \mathbf{a}_3}{\|\mathbf{a}_1 \times \mathbf{a}_3\|} = \mathbf{r}_3 \times \mathbf{r}_1 \end{cases} \rightarrow \mathbf{R} = \begin{bmatrix} \mathbf{r}_1 \\ \mathbf{r}_2 \\ \mathbf{r}_3 \end{bmatrix}$$

per ortonormalità

- ❖ Infine, si può ora determinare \mathbf{T} considerando che:

$$\mathbf{M} = \begin{bmatrix} f \mathbf{r}_1 + x_c \mathbf{r}_3 & f t_x + x_c t_z \\ f \mathbf{r}_2 + y_c \mathbf{r}_3 & f t_y + y_c t_z \\ \mathbf{r}_3 & t_z \end{bmatrix} = \rho \left[\mathbf{A} \mid \mathbf{b} \right] \rightarrow \rho \mathbf{b} = \mathbf{K}_1 \cdot \mathbf{T} = \begin{bmatrix} f t_x + x_c t_z \\ f t_y + y_c t_z \\ t_z \end{bmatrix}$$

- ❖ Quindi:

$$\rho \mathbf{b} = \rho \begin{bmatrix} b_1 \\ b_2 \\ b_3 \end{bmatrix} = \begin{bmatrix} f t_x - x_c t_z \\ f t_y - y_c t_z \\ t_z \end{bmatrix} \rightarrow t_z = \frac{b_3}{\rho} \rightarrow \begin{cases} t_x = \frac{1}{f} (\rho b_1 - x_c t_z) \\ t_y = \frac{1}{f} (\rho b_2 - y_c t_z) \end{cases}$$

Camera Calibration – lab exercise



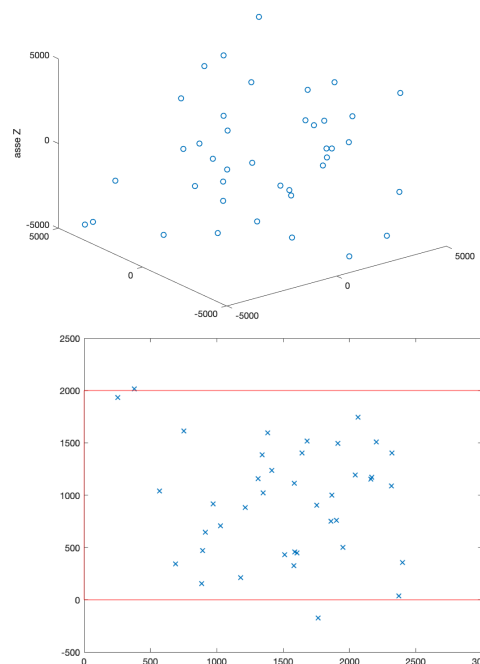
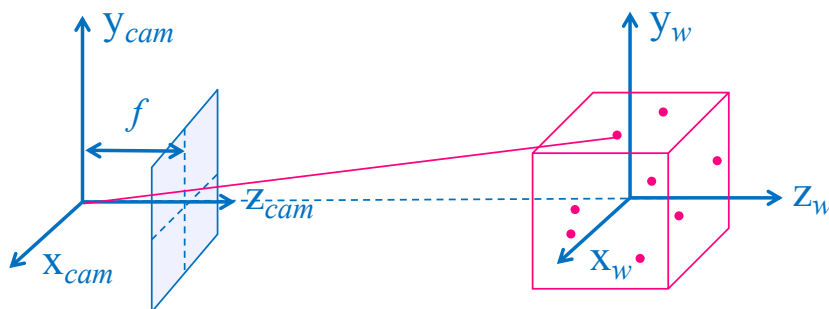
Esercitazione MATLAB®:

Calibrazione di camera con modello lineare

- ❖ MATLAB script: `LinearCamCal.m`
- >> `LinearCamCal`

Esercitazione:

- ❖ esecuzione passo-passo dello script
- ❖ ri-esecuzione, con parametri differenti
- ❖ valutazione della precisione di calcolo





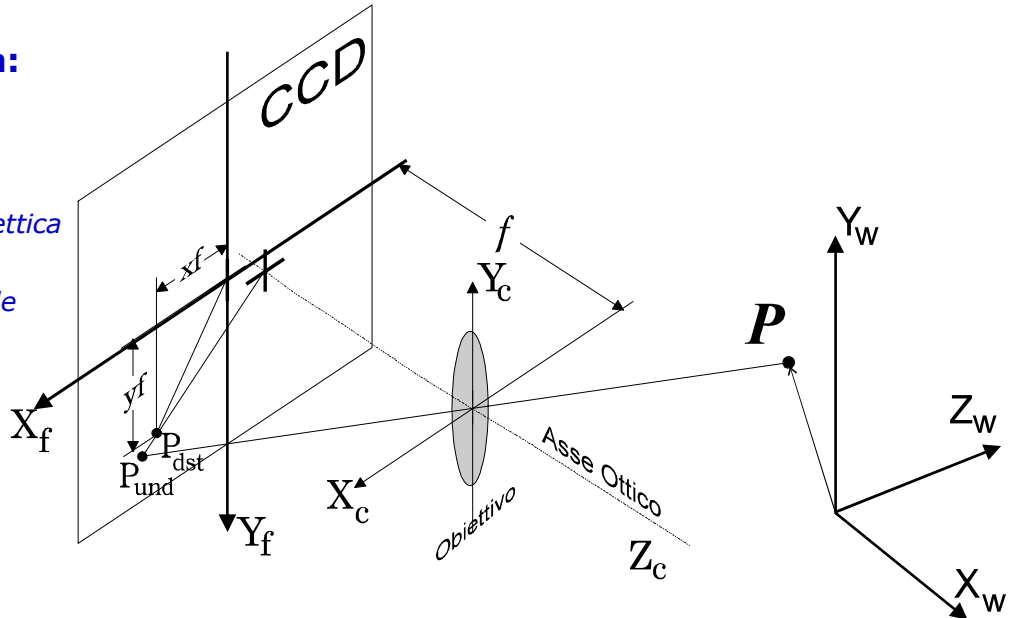
TSAI (1987):

R. Tsai, "A versatile camera calibration technique for high-accuracy 3D machine vision metrology using off-the-shelf TV cameras and lenses," in *IEEE Journal on Robotics and Automation*, vol. 3, no. 4, pp. 323-344, 1987.

Tecnica di calibrazione basata su modello geometrico Euclideo di camera

Modello di camera:

1. Exterior orientation
 - roto-traslazione
2. Interior orientation
 - proiezione prospettica
3. Distortion
 - distorsione radiale



Tsai: modello di camera

Exterior Orientation (parametri estrinseci)

❖ Roto-traslazione:

$$\mathbf{P}_{CAM} = \mathbf{R} \cdot \mathbf{P}_{CAM} + \mathbf{t} \rightarrow \begin{bmatrix} X_{CAM} \\ Y_{CAM} \\ Z_{CAM} \end{bmatrix} = \begin{bmatrix} r_{11} & r_{12} & r_{13} \\ r_{21} & r_{22} & r_{23} \\ r_{31} & r_{32} & r_{33} \end{bmatrix} \begin{bmatrix} X_W \\ Y_W \\ Z_W \end{bmatrix} + \begin{bmatrix} t_X \\ t_Y \\ t_Z \end{bmatrix}$$

Interior Orientation (parametri intrinseci)

❖ Proiezione prospettica:

$$\frac{x_U - x_C}{f} = \frac{X_{CAM}}{Z_{CAM}}, \quad \frac{y_U - y_C}{f} = \frac{Y_{CAM}}{Z_{CAM}}$$

Modello completo:

$$\frac{x_U - x_C}{f} = \frac{X_{CAM}}{Z_{CAM}} = \frac{r_{11}X_W + r_{12}Y_W + r_{13}Z_W + t_X}{r_{31}X_W + r_{32}Y_W + r_{33}Z_W + t_Z}, \quad \frac{y_U - y_C}{f} = \frac{Y_{CAM}}{Z_{CAM}} = \frac{r_{21}X_W + r_{22}Y_W + r_{23}Z_W + t_Y}{r_{31}X_W + r_{32}Y_W + r_{33}Z_W + t_Z}$$

❖ Correzione delle **distorsione radiale**:

$$\begin{cases} x_D = x_U(1 + k_1r^2 + k_2r^4 + \dots) \\ y_D = y_U(1 + k_1r^2 + k_2r^4 + \dots) \end{cases}; \quad r^2 = x_U^2 + y_U^2$$



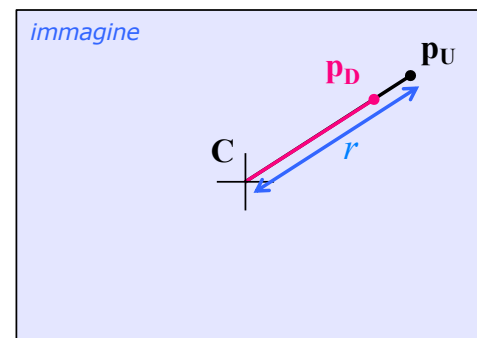
Struttura dell'algoritmo:

1. Stima di alcuni parametri (approssimata) risolvendo un **sistema lineare sovradeterminato non omogeneo**
 → risolubile ai minimi quadrati mediante la **matrice pseudo-inversa**
2. Stima degli altri parametri (e raffinamento della stima precedente) risolvendo un **sistema non lineare** con tecniche di **ottimizzazione numerica** (es. metodo di Levenberg-Marquardt)

Radial Alignment Constraint (RAC):

- ❖ La distorsione è radiale, quindi i vettori **p_D** e **p_U** sono **PARALLELI!**

$$\begin{cases} x'_{U,D} = x_{U,D} - x_C \\ y'_{U,D} = y_{U,D} - y_C \end{cases} \rightarrow \frac{x'_U}{y'_U} = \frac{x'_D}{y'_D}$$



Algoritmo

Modello completo:

$$\frac{x_U - x_C}{f} = \frac{x'_U}{f} = \frac{X_{CAM}}{Z_{CAM}} = \frac{r_{11}X_W + r_{12}Y_W + r_{13}Z_W + t_X}{r_{31}X_W + r_{32}Y_W + r_{33}Z_W + t_Z}, \quad \frac{y_U - y_C}{f} = \frac{y'_U}{f} = \frac{Y_{CAM}}{Z_{CAM}} = \frac{r_{21}X_W + r_{22}Y_W + r_{23}Z_W + t_Y}{r_{31}X_W + r_{32}Y_W + r_{33}Z_W + t_Z}$$

Facendo il rapporto, sfrutto il **Radial Alignment Constraint**:

$$\frac{x'_D}{y'_D} = \frac{x'_U}{y'_U} = \frac{X_{CAM}}{Y_{CAM}} = \frac{r_{11}X_W + r_{12}Y_W + r_{13}Z_W + t_X}{r_{21}X_W + r_{22}Y_W + r_{23}Z_W + t_Y}$$

1 equazione/punto
8 incognite (vincolate...)

Sviluppando:

$$(r_{11}X_W + r_{12}Y_W + r_{13}Z_W + t_X)y'_D - (r_{21}X_W + r_{22}Y_W + r_{23}Z_W + t_Y)x'_D = 0$$

incognite

Ponendo arbitrariamente **$t_Y=1$** (risolvo a meno di un fattore di scala), ottengo:

$$(r_{11}X_W + r_{12}Y_W + r_{13}Z_W + t_X)y'_D - (r_{21}X_W + r_{22}Y_W + r_{23}Z_W)x'_D = x'_D$$

1 equazione/punto
7 incognite



Soluzione modello lineare (RAC):

❖ In forma matriciale:

$$\begin{bmatrix} X_W y'_D & Y_W y'_D & Z_W y'_D & y'_D & -X_W x'_D & -Y_W x'_D & -Z_W x'_D \\ r_{11} \\ r_{12} \\ r_{13} \\ t_x \\ r_{21} \\ r_{22} \\ r_{23} \end{bmatrix} = x'_D$$

❖ Cioè: $\mathbf{A}_i \cdot \mathbf{m} = \mathbf{b}_i, \quad i = 1..N$

❖ Estendo a tutti i gli N punti fiduciali:

$$\mathbf{A} \cdot \mathbf{m} = \mathbf{b} \quad \mathbf{A} : [N \times 7], \quad \mathbf{m} : [7 \times 1], \quad \mathbf{b} : [N \times 1]$$

\mathbf{A} : matrice $N \times 7 \rightarrow$ per $N > 7$, sistema **lineare sovradeterminato, non omogeneo**

❖ Risolvo ai minimi quadrati mediante la **pseudoinversa**:

$$\mathbf{A}^T \mathbf{A} \cdot \mathbf{m} = \mathbf{A}^T \mathbf{b} \quad \rightarrow \quad \mathbf{m} = \left(\mathbf{A}^T \mathbf{A} \right)^{-1} \mathbf{A}^T \mathbf{b}$$

Camera Calibration: algoritmo di Tsai (1987)



Raffinamento dei parametri e stima globale

1. Correggo la stima di \mathbf{r}_1 e \mathbf{r}_2 , imponendo la ortonormalità della matrice \mathbf{R}

$$\begin{cases} r_i \cdot r_i = \|r_i\| = 1, \quad i = 1, 2, 3 & \leftarrow \text{norma} = 1 \\ r_1 \cdot r_2 = r_1 \cdot r_3 = r_2 \cdot r_3 = 0 & \leftarrow \text{ortogonalità} \end{cases} \quad \rightarrow \quad \mathbf{R}$$

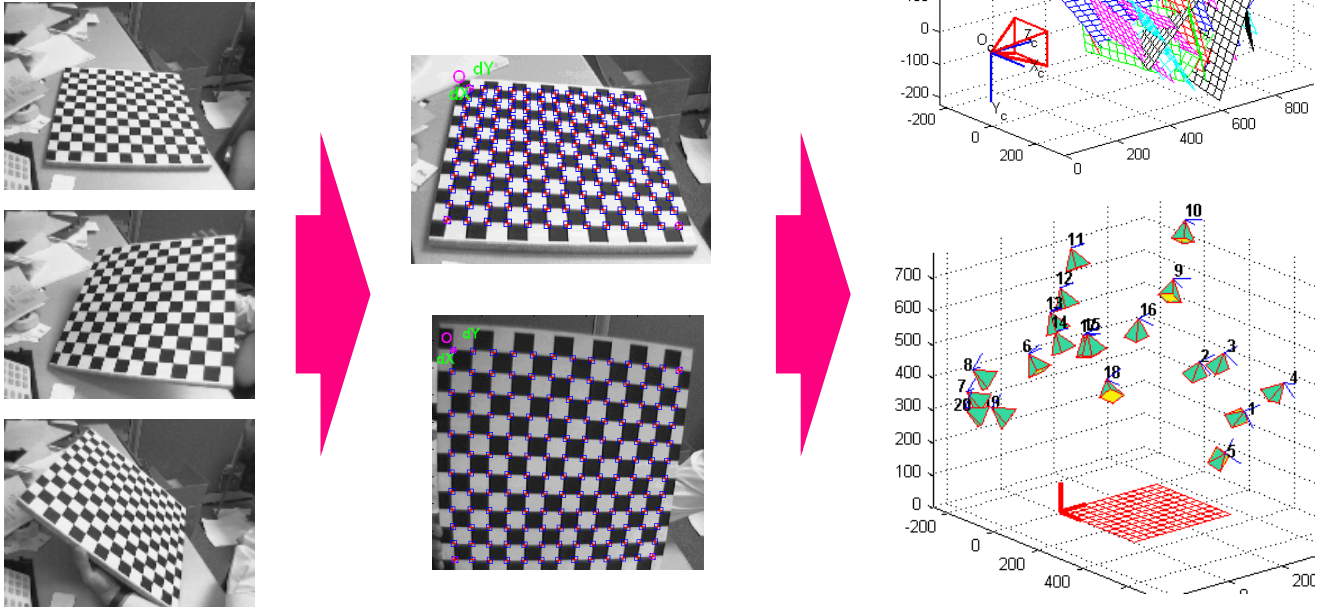
2. Utilizzo i parametri ottenuti come stima iniziale per una ottimizzazione non lineare che **minimizza l'errore di riproiezione E** \rightarrow ottengo il modello finale.

$$E = \sum_i \left\| \mathbf{p}_i^{MEAS} - \mathbf{p}_i^{EST} \right\|^2 = \sum_i \left\| \mathbf{p}_i^{MEAS} - f(\xi, \mathbf{P}_i) \right\|^2 \quad \rightarrow \quad \hat{\xi} \quad t.c. \quad \hat{\xi} = \underset{\xi}{\operatorname{argmin}}(E)$$

Algoritmo ben spiegato in:
 Berthold K.P. Horn – **Tsai's Camera Calibration Revisited**, 2000
http://people.csail.mit.edu/bkph/articles/Tsai_Revisited.pdf

Camera Calibration Software Tools

- ❖ **Camera Calibration Toolbox for MATLAB®:**
http://www.vision.caltech.edu/bouguetj/calib_doc/



Camera Calibration – lab exercise

MATLAB®: Single Camera Calibration App

>> cameraCalibrator

